

BRÝLOVÉ ČOČKY

Historické brýle



1690: brýle Norimberského stylu se zelenými čočkami



1780: stříbrné brýle

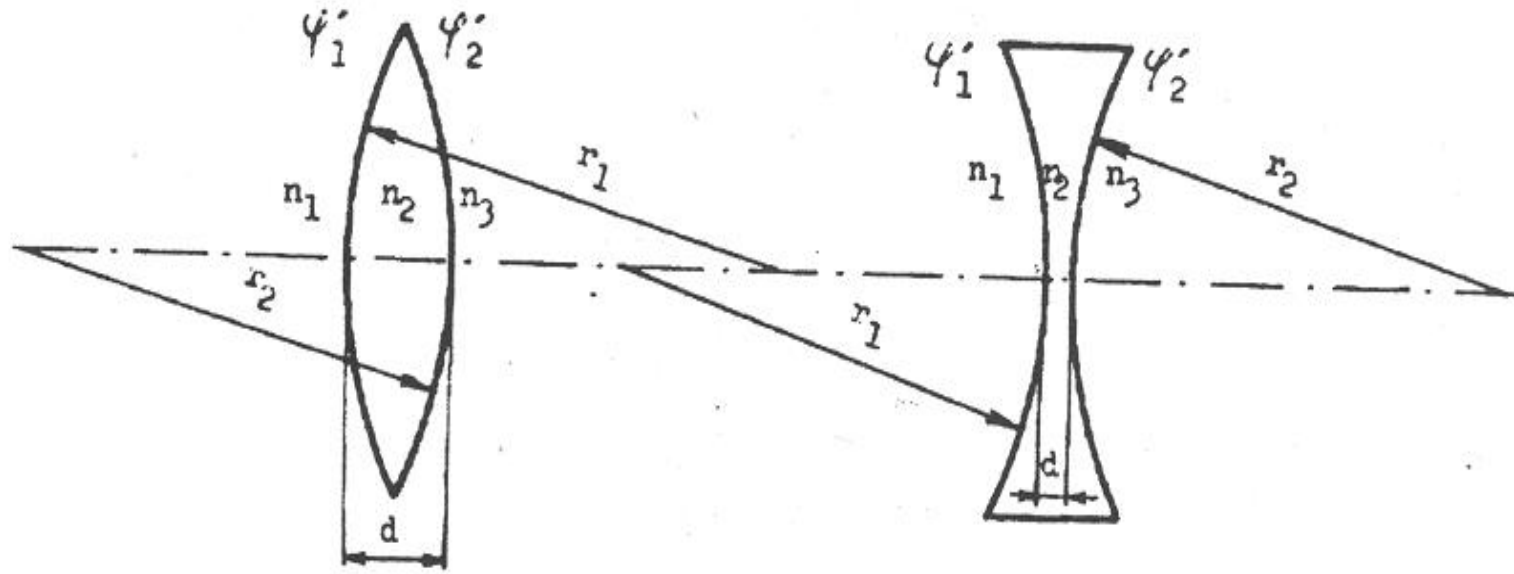


středověký čtecí kámen

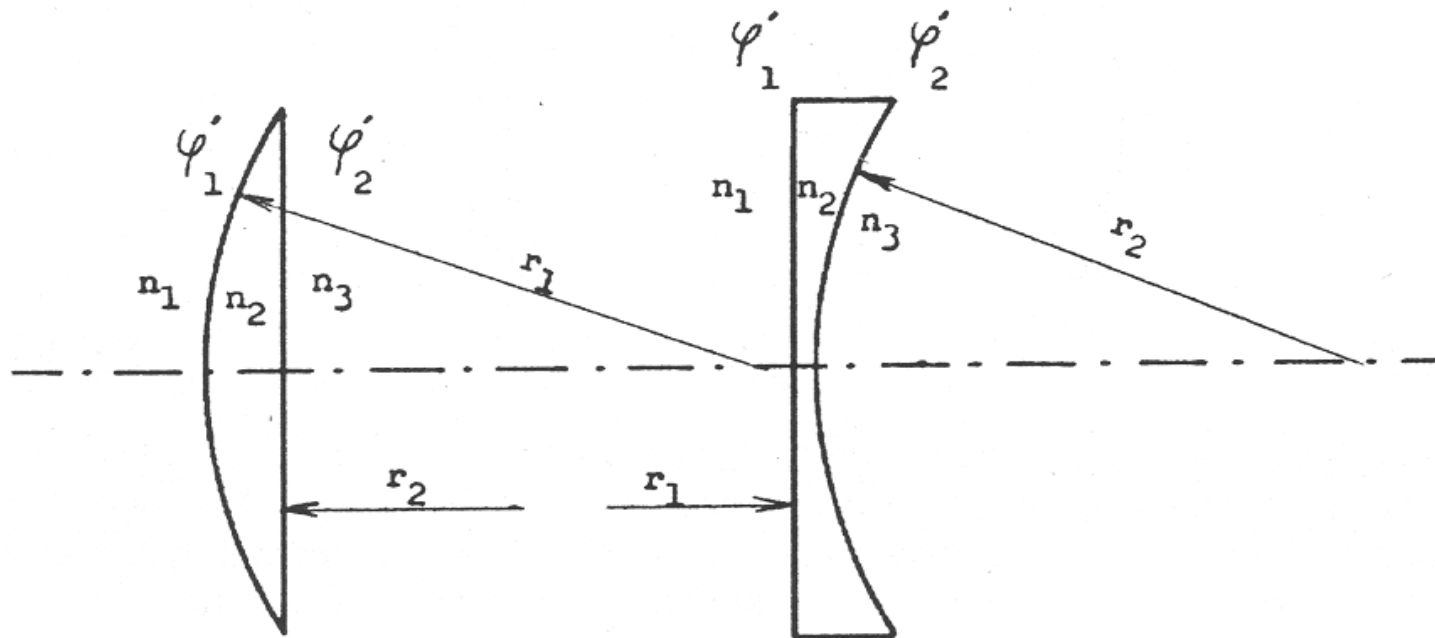


konec 18. století: mosazné obruby, kruhové čočky

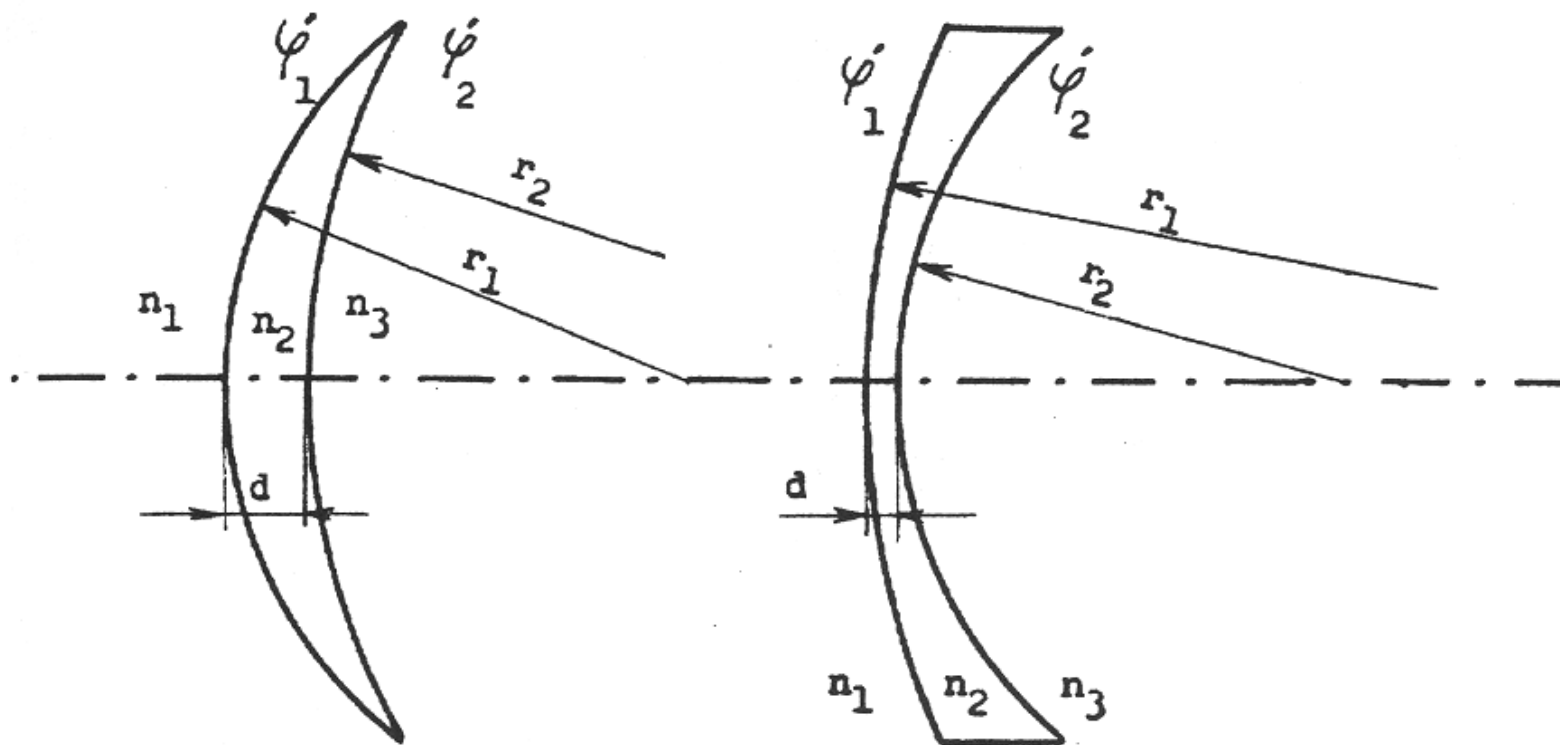
Bikonvexní a bikonkávní čočky



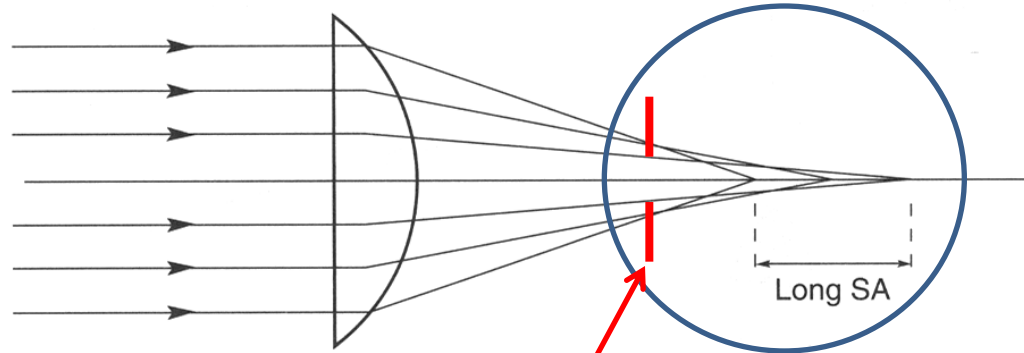
Plankonvexní a plankonkávní čočky



Meniskové čočky



Otvorová vada



Otvorová vada a koma brýlové čočky nemusí být uvažována
vzhledem k tomu, že svazek prochází skrze relativně malou oční pupilu

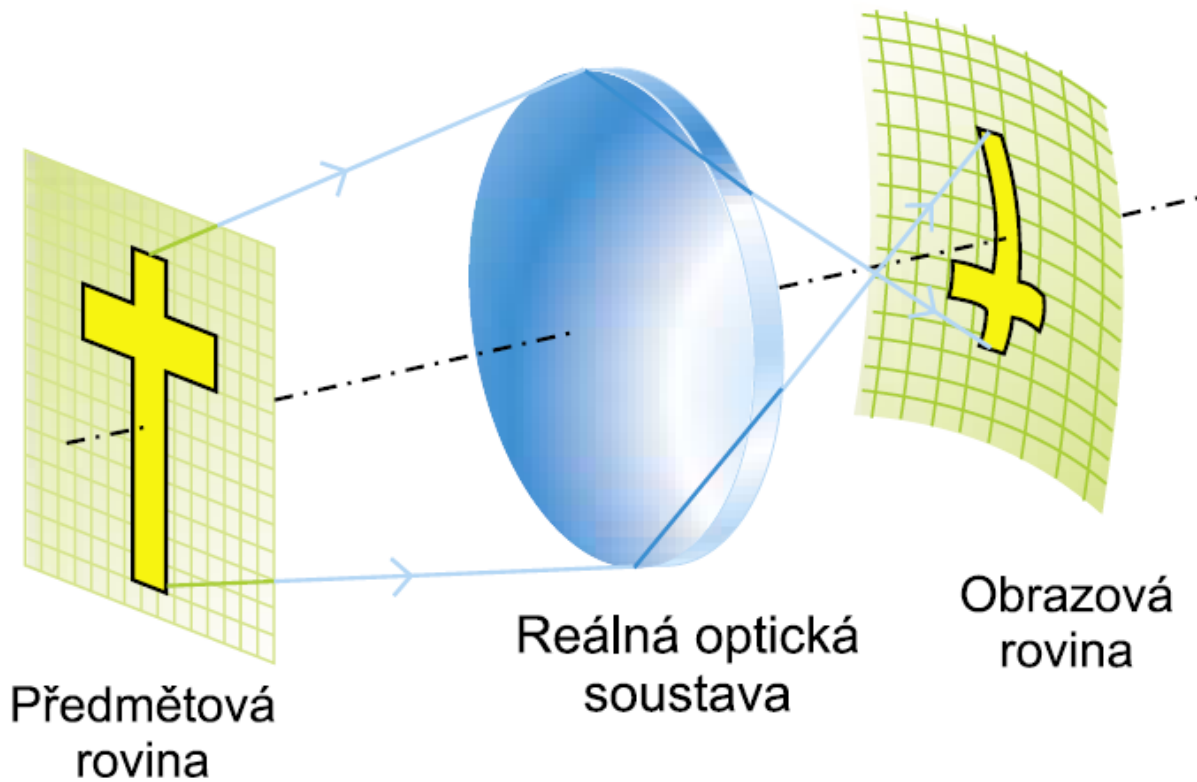
Sklenutí pole



Joseph Petráň

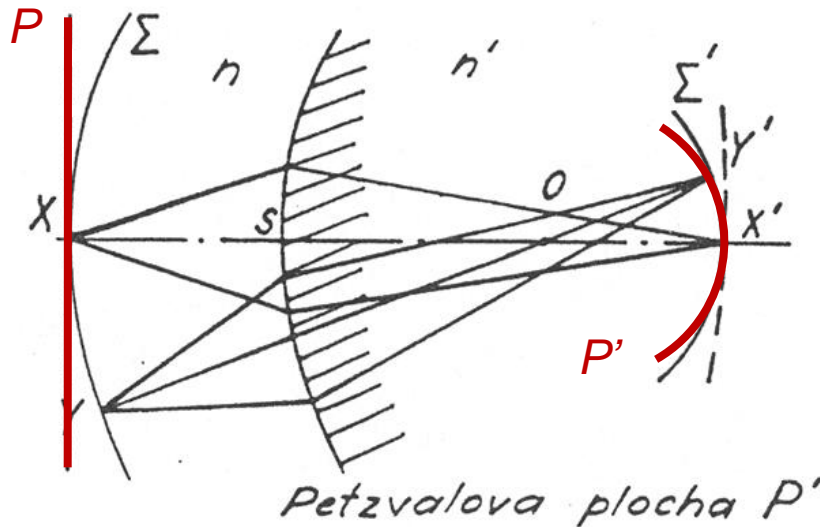
1807 - 1891

1807 - 1891



Česká oční optika 2, 2006, s. 58.

Petzvalova plocha



jedna lámavá plocha:

$$R_P = \frac{nr}{n - n'}$$

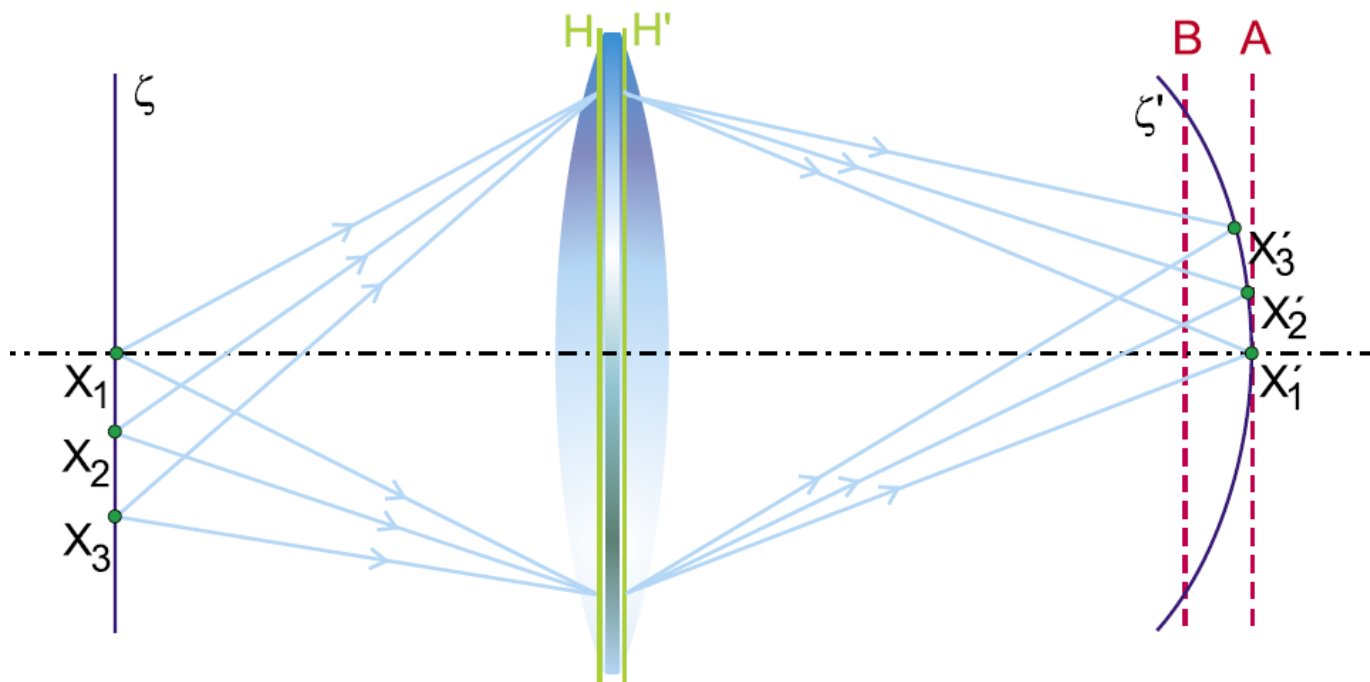
tenká čočka:

$$R_P = -nf'$$

system tenkých čoček:

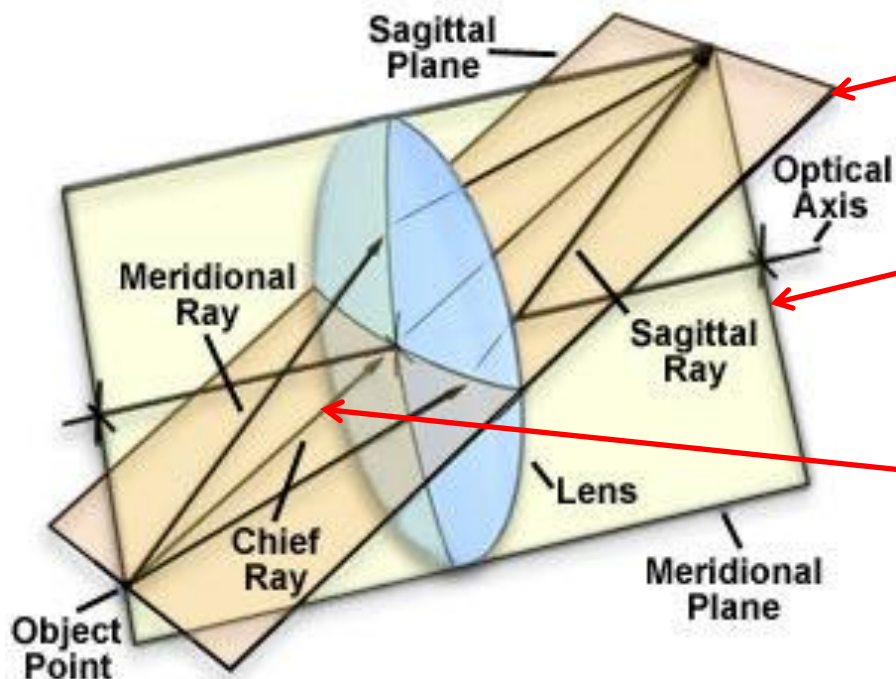
$$\frac{1}{R_P} = -\sum \frac{1}{n_i f_i'} = -\sum \frac{\varphi_i'}{n_i}$$

Sklenutí pole



Sagitální a tangenciální rovina

Sagittal and Meridional Planes



sagitální rovina

obsahuje hlavní paprsek, je kolmá na tang.r.

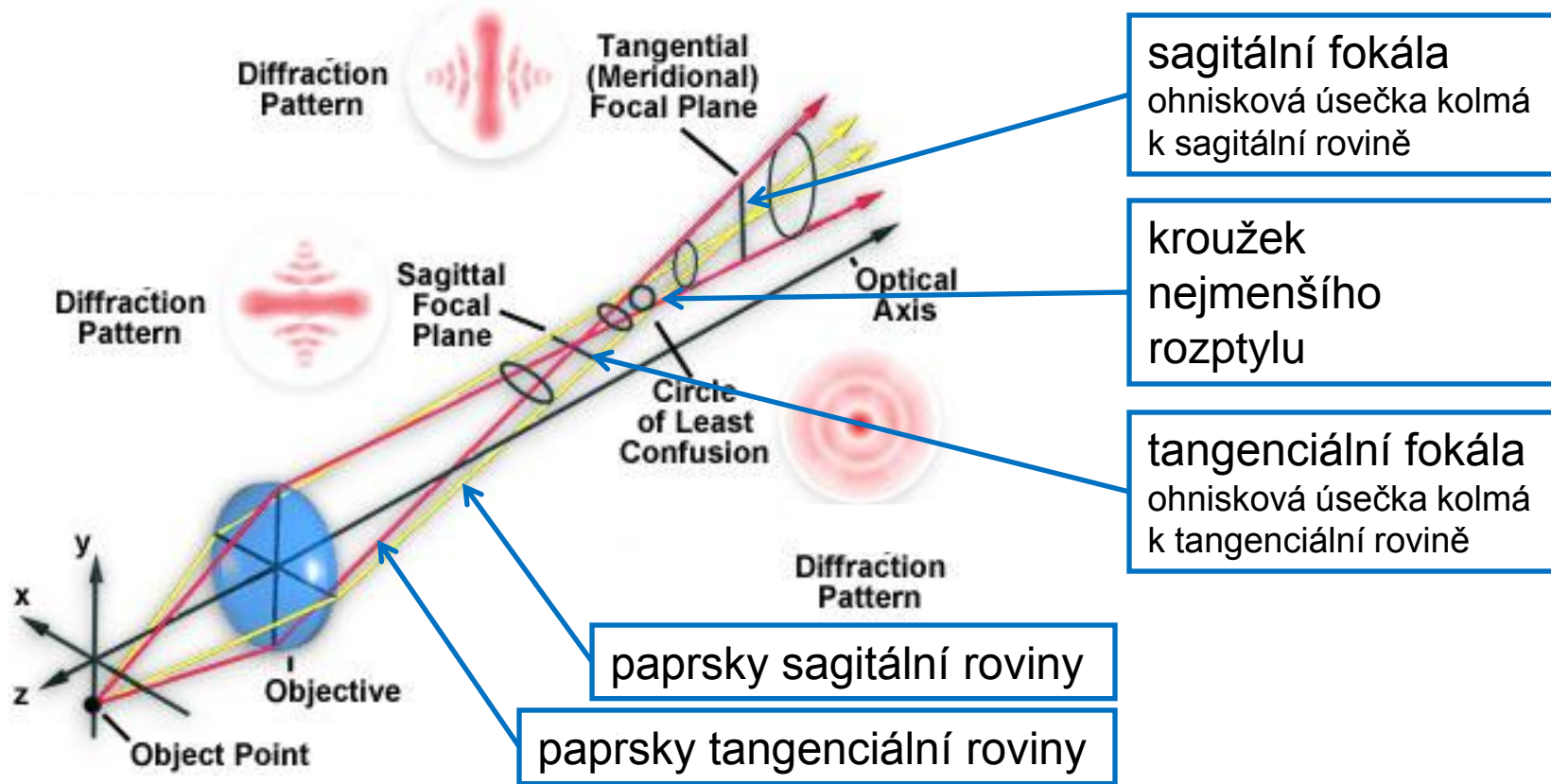
tangenciální (meridionální) rovina

obsahuje hlavní paprsek a optickou osu

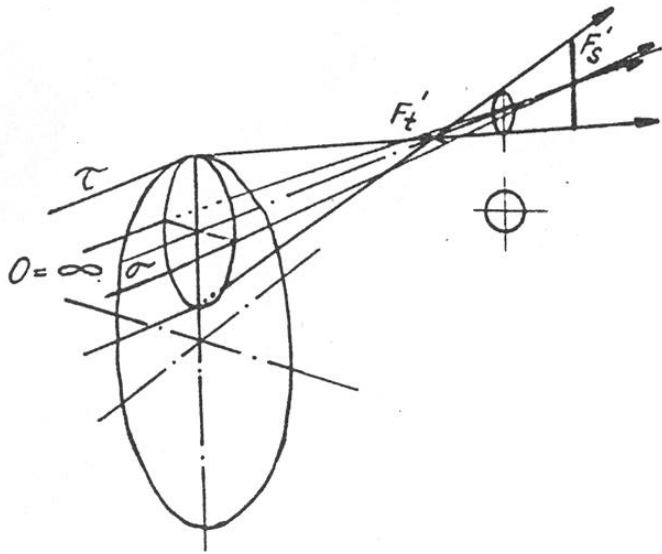
hlavní paprsek

prochází předměťovým bodem a středem pupily

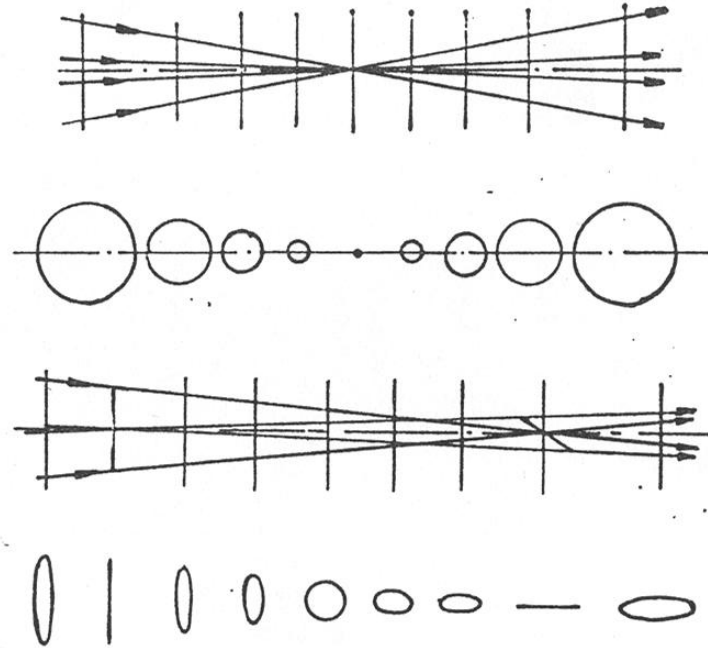
Astigmatismus



Astigmatismus



Fokály astigmatického svazku



Ideální svazek paprsků

Astigmatický svazek paprsků

Astigmatismus

Original

aio

Compromise

aio

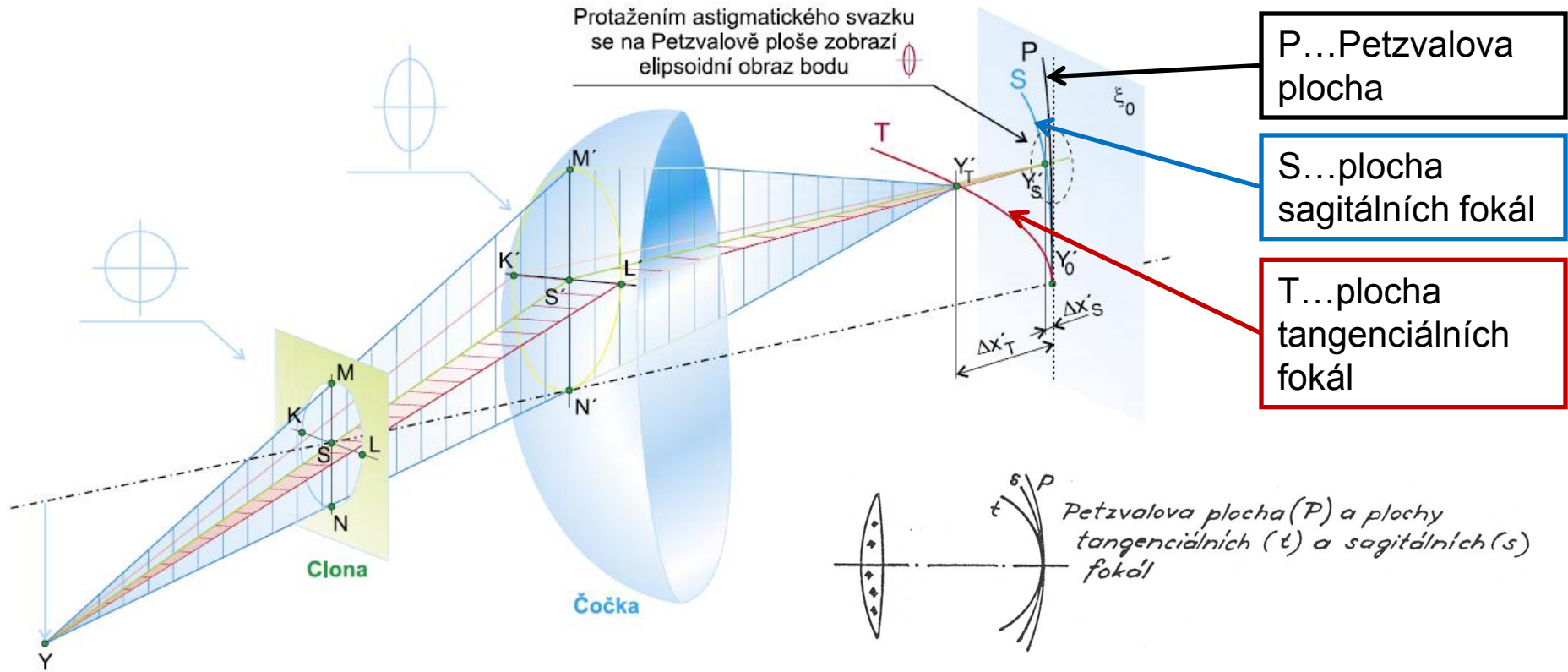
Horizontal Focus

aio

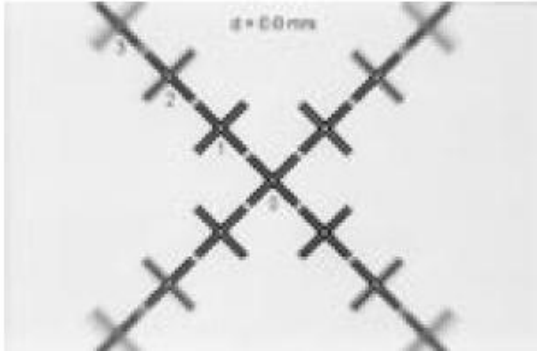
Vertical Focus

aio

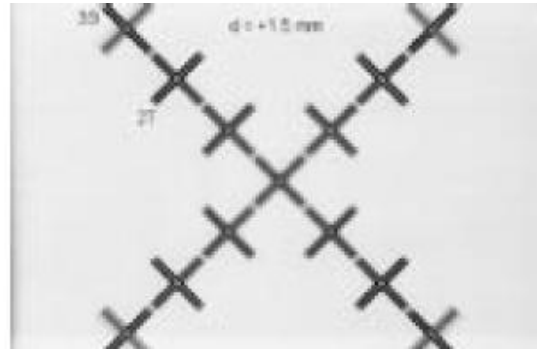
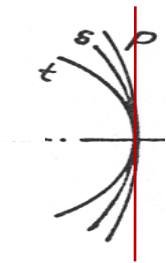
Astigmatismus tenké čočky



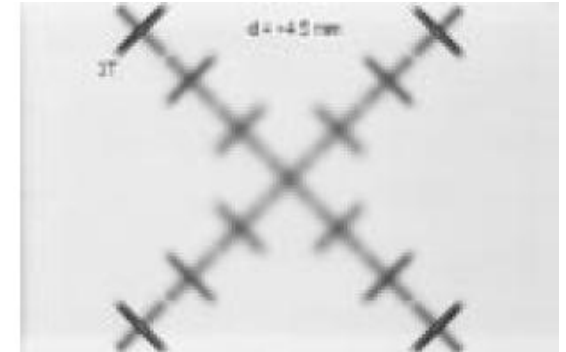
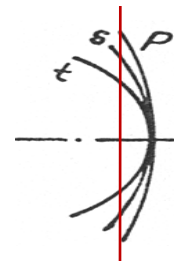
Zobrazení s astigmatismem



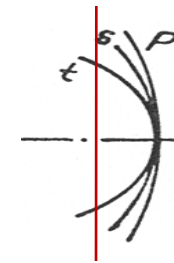
$d = 0$ mm (od ohniska)
zaostřena centrální část a
2S čáry



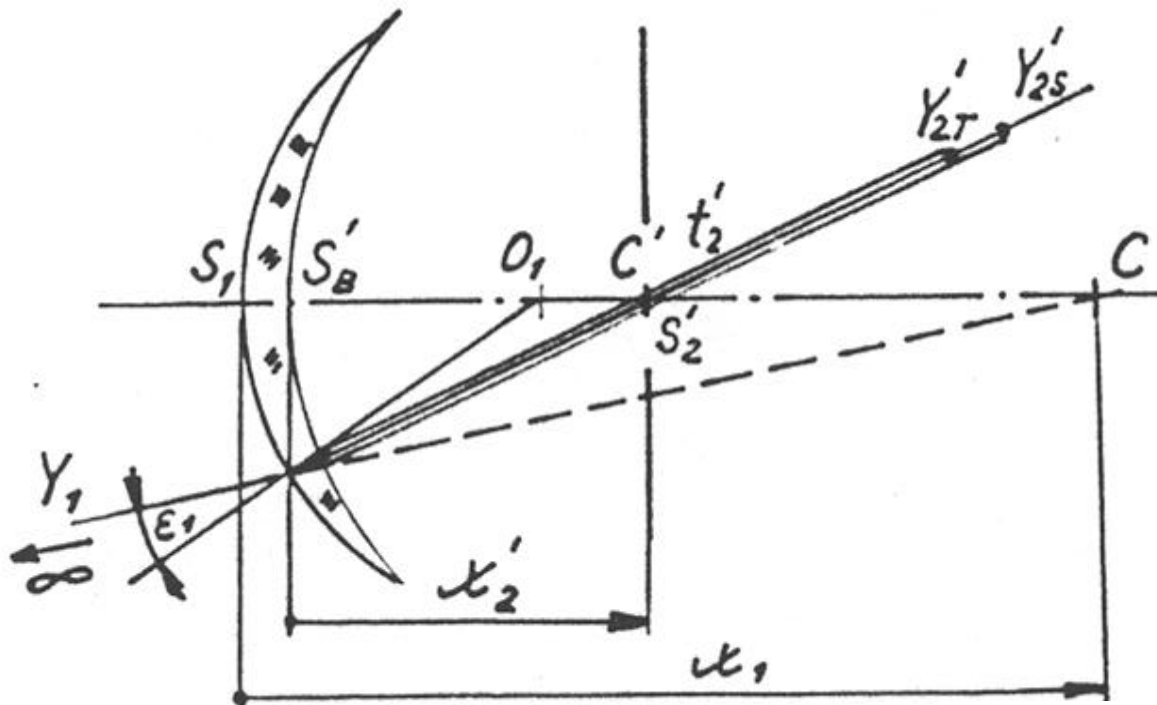
$d = -1,5$ mm
(od ohniska k čočce)
centrální část rozostřena,
zaostřeny 2T a 3S čáry



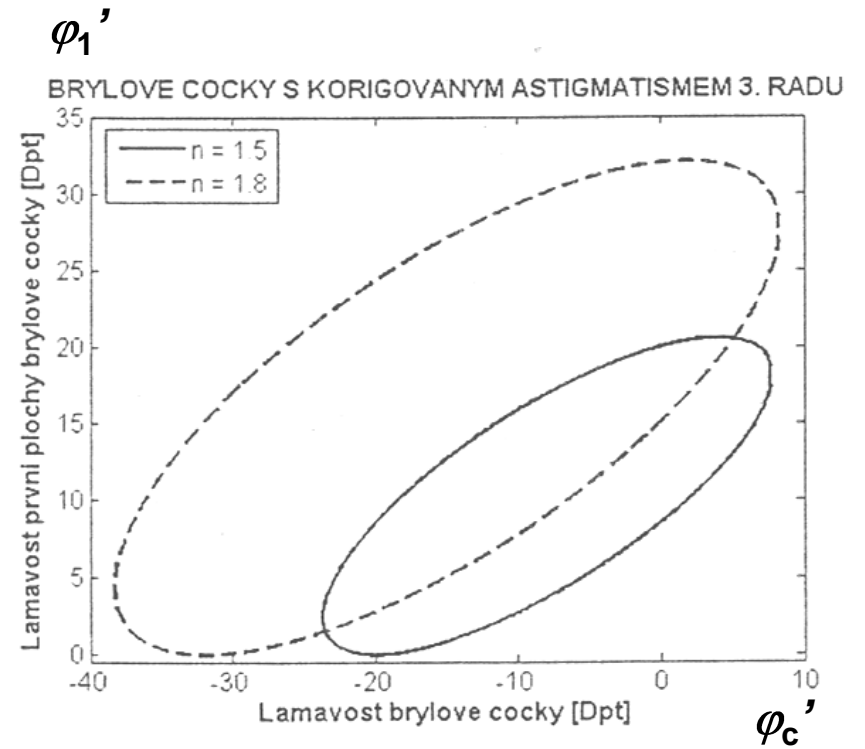
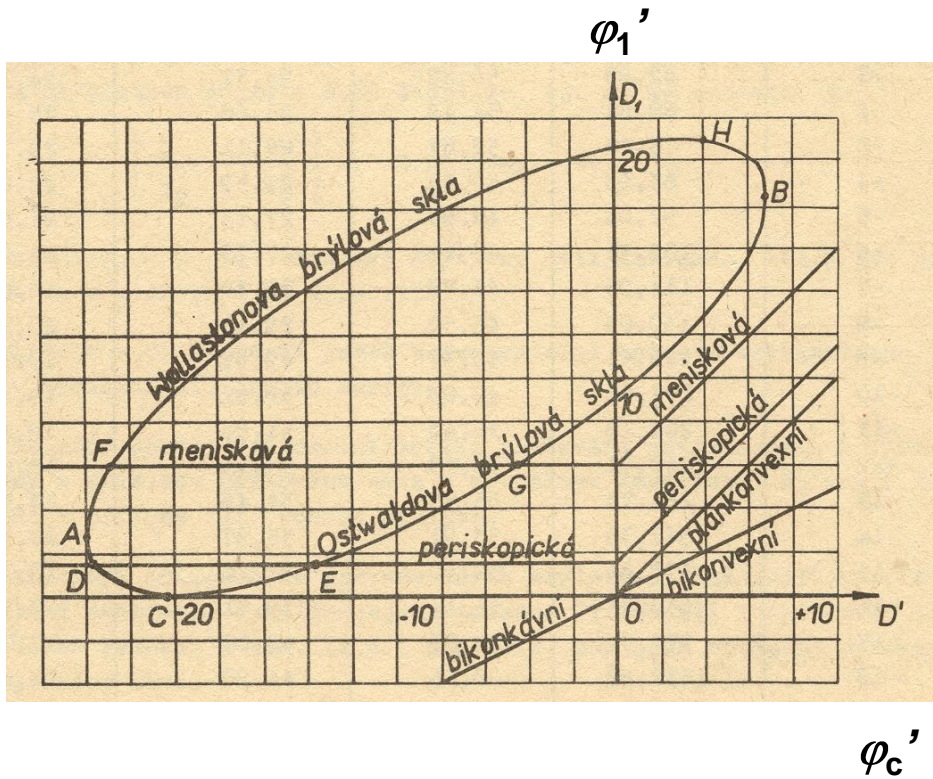
$d = -4,5$ mm
(od ohniska k čočce)
centrální část rozostřena,
zaostřeny 3T čáry



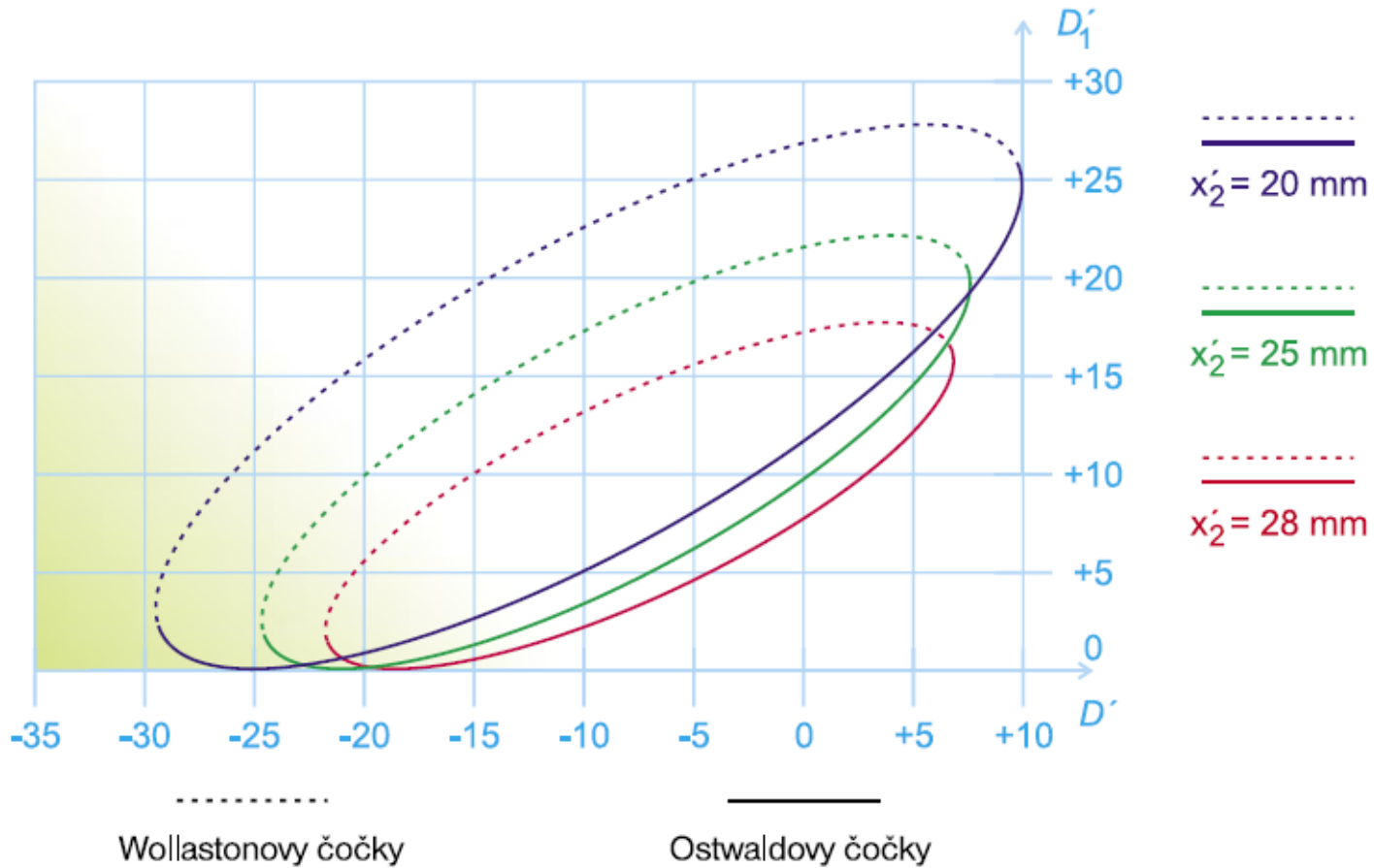
Korekce astigmatismu šikmých svazků



Tscherningova elipsa

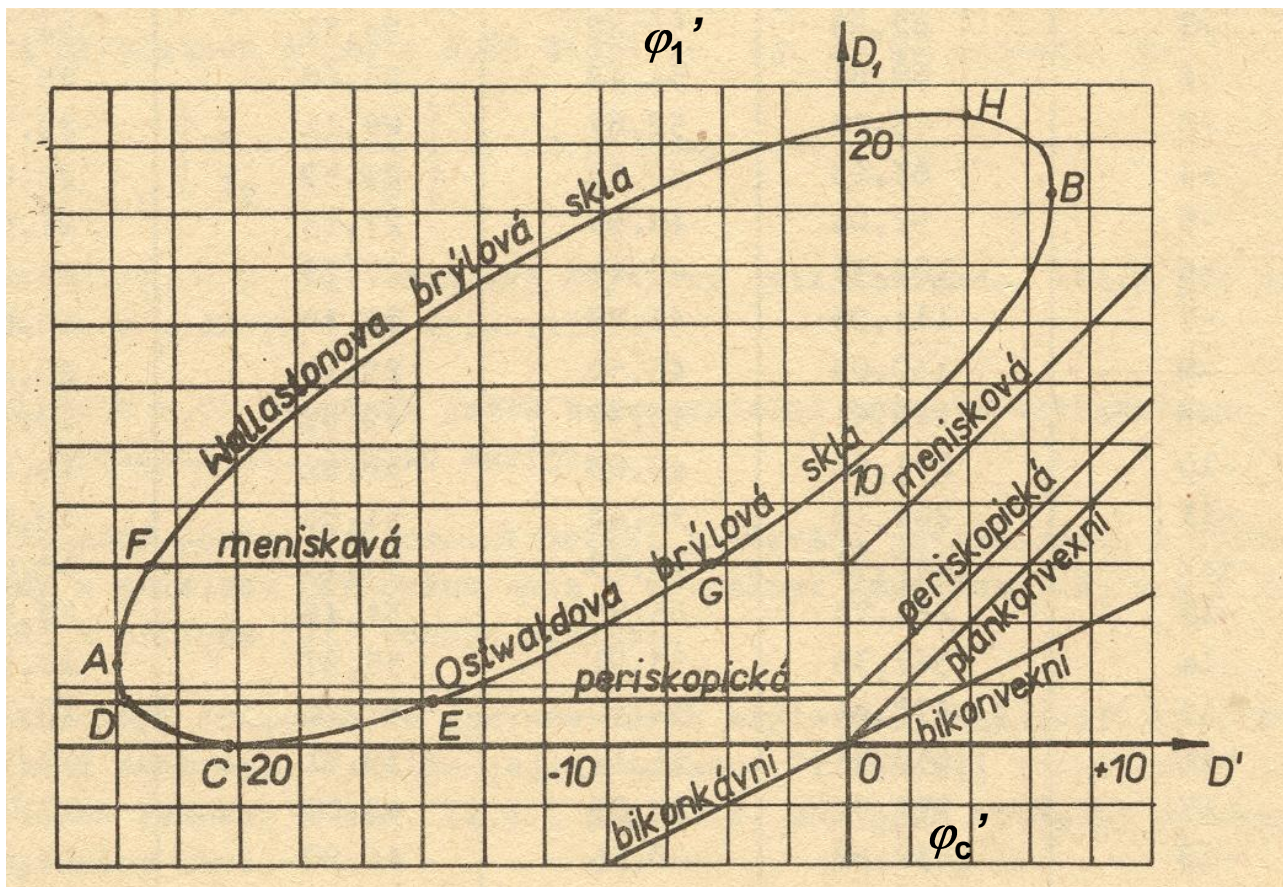


Tscherningova elipsa

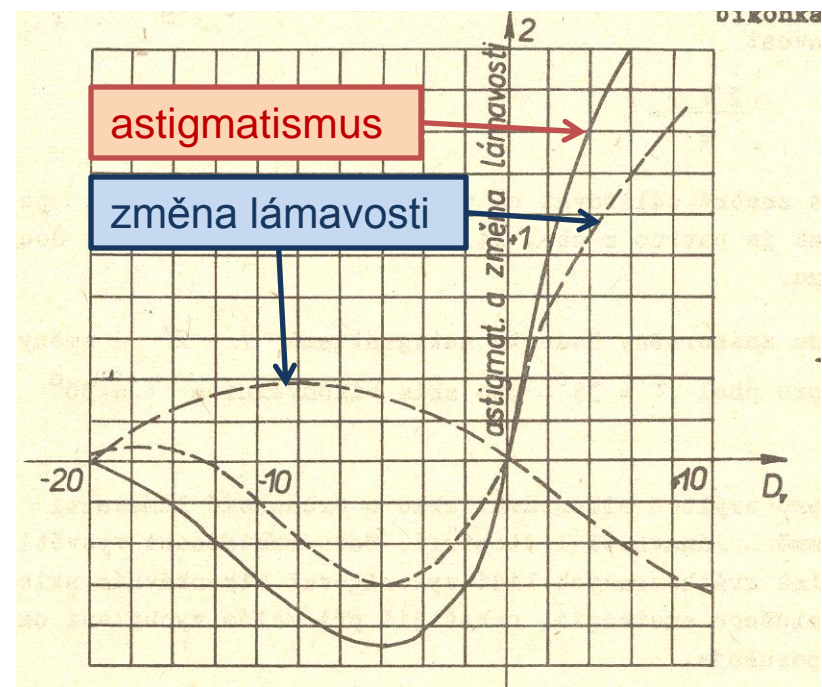
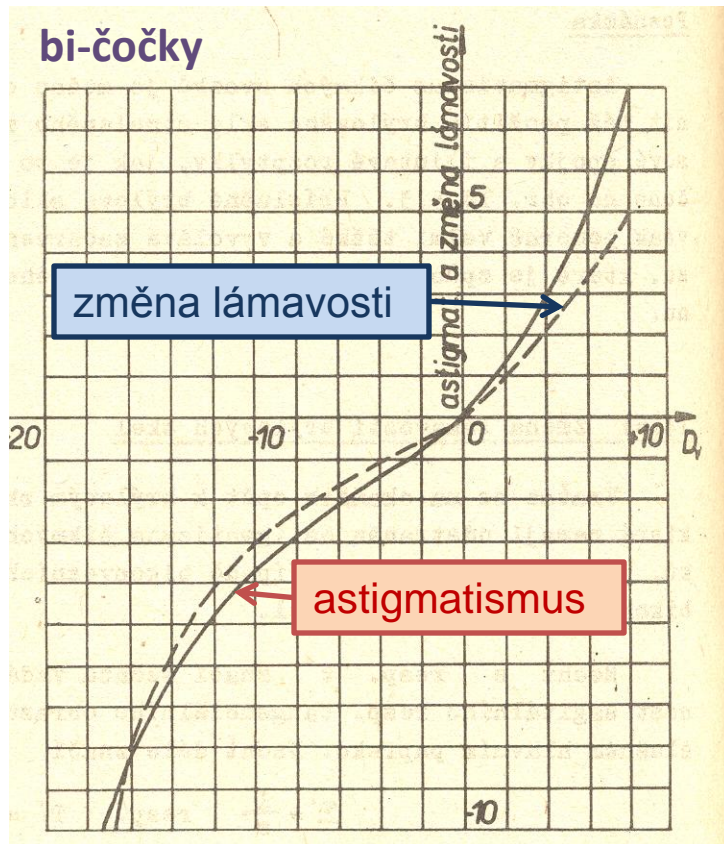


vzdálenost BČ od
středu otáčení oka

Oblasti řešení



Změna optické mohutnosti brýlové čočky



Tabulka poloměrů křivostí ploch

D' dioptrií φ_c' [D]	Oswalt		Wollaston	
	1. řešení		2. řešení	
	r ₁ mm	r ₂ mm	r ₁ mm	r ₂ mm
7	32,01	55,99	25,36	38,39
6	35,32	59,37	24,72	34,61
5	38,49	60,89	24,47	31,94
4	41,78	61,29	24,39	29,98
3	45,27	61,16	24,43	28,41
2	49,06	60,39	24,52	27,09
1	53,22	59,25	24,74	25,97
0	57,83	57,83	24,99	24,99
-1	62,93	56,22	25,31	24,15
-2	68,84	54,49	25,68	23,38
-3	75,48	52,67	26,11	22,71
-4	83,13	50,82	26,59	22,09
-5	92,04	48,96	27,13	21,54
-6	102,51	47,11	27,73	21,04
-7	114,98	45,29	28,40	20,58
-8	130,03	43,50	29,15	20,17
-9	148,51	41,77	29,99	19,78
-10	171,63	40,09	30,92	19,43
-11	201,18	38,46	31,96	19,11
-12	240,01	36,89	33,13	18,82
-13	294,73	35,37	34,46	18,57
-14	367,35	33,91	35,97	18,33
-15	478,84	32,50	37,70	18,12
-16	658,21	31,14	39,71	17,93
-17	978,67	29,83	42,08	17,77
-18	1652,92	28,55	44,90	17,64
-19	3552,02	27,32	48,35	17,54
-20	14223,55	26,10	52,69	17,48
-21	261500,00	24,90	58,35	17,46
-22	8211,65	23,70	66,20	17,49
-23	1869,99	22,47	78,25	17,62
-24	664,41	21,10	86,07	17,99

Platí pro tenké brýlové čočky vzdálené 25mm od bodu otáčení oka při pozorování značně vzdálených předmětů a pro malé úhly

Příklady českých čoček – DIOSFER, PUNKTUR

autoři využili počítačích strojů a podrobně zhodnotili vliv tloušťky i křivosti skel s ohledem na optimální návrh při pozorování různých vzdálených předmětů. Kompromisem mezi konvenční vzdáleností do blízka (250 mm) a do dálky (∞) dospěli k brýlovým sklům s minimálním astigmatismem. Tato skla vyrábí n. p. Dioptra — Turnov pod názvem DIOSFER (tabulka I.13).

Skutečnost, že jde o bodově zobrazující brýlová skla, zdůrazňují někteří výrobci, v jejich názvu (C. Zeiss: PUNCTAL, Dioptra: PUNKTUR; punctum (lat.) = bod). Některé parametry skel zn. PUNKTUR jsou uvedeny v tabulce I.14.

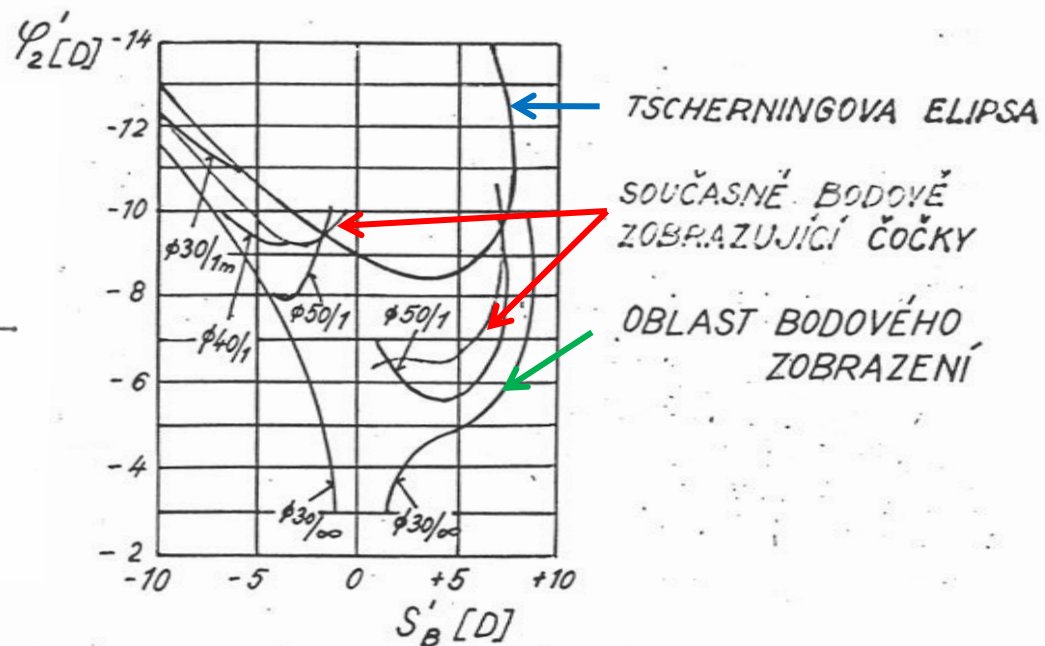
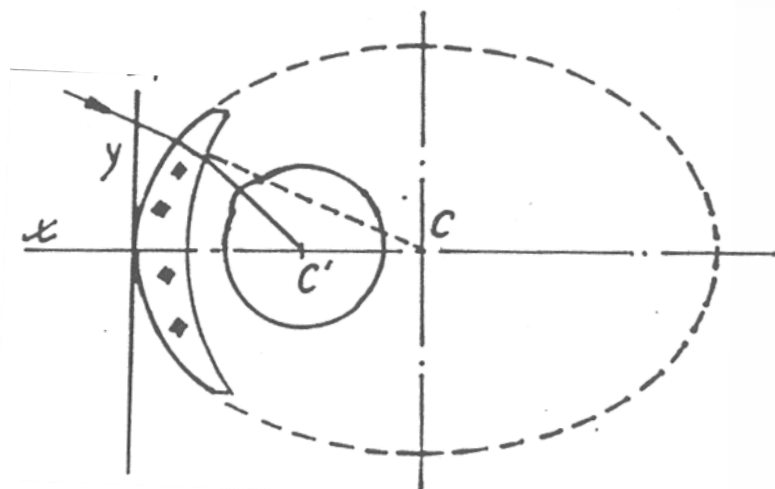
Charakteristické parametry čs. brýlových skel DIOSFER

Vrcholová lámavost A' [dpt]	Optická mohutnost vypuklé plochy D_1 [dpt]	Optická mohutnost duté plochy D_2 [dpt]	Středová tloušťka d [mm]
S_B^I 0,00	φ_1^I +5,95	φ_2^I	d 2,0
+0,25	+6,20	-6,00	2,1
+0,50	+6,45		2,2
+0,75	+6,70		2,3
+1,00	+6,95		2,4
+1,25	+7,19		2,6
+1,50	+7,44		2,7
+1,75	+7,65		2,8
+2,00	+7,92		2,9
+2,25	+8,13		3,0
+2,50	+8,38		3,2
+2,75	+8,63		3,3
+3,00	+8,86		3,4
+3,25	+9,10		3,5
+3,50	+9,34		3,7
+3,75	+9,57		3,8
+4,00	+9,81		4,0
-0,25	+6,00	-6,30	1,7
-0,50		-6,55	1,6
-0,75		-6,80	1,5
-1,00		-7,05	1,5
-1,25	+5,50	-6,80	1,4
-1,50		-7,05	1,3
-1,75		-7,30	1,3
-2,00		-7,55	1,2
-2,25	+5,00	-7,30	1,2
-2,50		-7,55	1,1
-2,75		-7,79	1,0
-3,00		-8,04	1,0
-3,25	+4,50	-7,79	1,0
-3,50		-8,04	1,0
-3,75		-8,28	1,0
-4,00		-8,53	1,0

Charakteristické parametry čs. bodově zobrazujících skel PUNKTUR

Vrcholová lámavost A' [dpt]	Optická mohutnost vypuklé plochy D_1 [dpt]	Optická mohutnost duté plochy D_2 [dpt]	Středová tloušťka d [mm]	
S_B^I +0,25	φ_1^I +6,355	φ_2^I -6,153	d 1,8	
+0,50	+6,601		1,8	
+0,75	+6,844		1,9	
+1,00	+7,077		2,0	
+1,25	+7,327		2,1	
+1,50	+7,569		2,2	
+1,75	+7,809		2,3	
+2,00	+8,759	-6,882	2,4	
+2,25	+8,997		2,5	
+2,50	+9,234		2,6	
+2,75	+9,464		2,8	
+3,00	+9,687		3,1	
+3,25	+9,926		3,1	
+3,50	+10,159		3,2	
+3,75	+10,391		3,3	
+4,00	+10,617		3,5	
+4,50	+11,308		-7,164	4,1
+5,00	+11,472	4,5		
+5,50	+12,168	4,9		
+6,00	+12,599	5,2		
-0,25	+6,173	-7,449	1,6	
-0,50		-7,736	1,5	
-0,75		-7,990	1,4	
-1,00		-8,232	1,3	
-1,25		-8,444	1,1	
-1,50		-8,699	1,0	
-1,75		-8,963	0,9	
-2,00		-9,214	0,9	
-2,25		-8,444	0,9	
-2,50		-8,699	0,9	
-2,75		-8,963	0,9	
-3,00		-9,214	0,9	
-3,25		-9,473	0,9	
-3,50		-9,694	0,8	
-3,75		+5,451	-9,214	0,8
-4,00			-9,473	0,7
-4,50	-9,966		0,7	
-5,00	+4,705	-9,694	0,6	
-5,50		-10,197	0,6	
-6,00		-10,728	0,6	

Možnosti realizace bodově zobrazujících čoček



Optické vlastnosti materiálů brýlových čoček

důležité parametry:

- index lomu
- hustota
- Abbeovo číslo
- UV mezní bod
- curve variation factor (CVF)
- odrazivost

index lomu

n_d ... pro čáru d

n_e ... pro čáru e

Medium	n_d	n_e	CVF	Density	UV cut-off	Abbe	$\rho(\%)$
Glasses							
White Crown	1.523	1.525	1.0	2.5	320	59	4.3
Light flint	1.600	1.604	0.87	2.6	334	42	5.3
1.7 glasses	1.700	1.705	0.75	3.2	340	35	6.7
	1.701	1.706	0.75	3.2	320	42	6.7
1.8 glasses	1.802	1.807	0.65	3.7	332	35	8.2
	1.830	1.838	0.63	3.6	340	32	8.6
1.9 glasses	1.885	1.893	0.59	4.0	340	31	9.4
Plastics							
CR39	1.498	1.500	1.0	1.3	355	58	4.0
INDO Superfin	1.523	1.525	0.95	1.3	350	48	4.3
Triyex®	1.532	1.535	0.94	1.1	380	46	4.4
Sola Spectralite	1.537	1.540	0.93	1.2	385	47	4.5
Corning SunSensors®	1.555	1.558	0.90	1.2	380	38	4.7
PPG HIP	1.560	1.563	0.89	1.2	370	38	4.8
AO Alphalite 16XT	1.582	1.585	0.86	1.3	380	34	5.1
Polycarbonate	1.586	1.589	0.85	1.2	385	30	5.2
Hoya Eyas 1.6	1.600	1.603	0.83	1.3	380	42	5.3
Polyurethanes	1.600	1.603	0.83	1.3	380	36	5.3
	1.609	1.612	0.82	1.4	380	32	5.4
	1.660	1.664	0.75	1.4	375	32	6.2
	1.670	1.674	0.74	1.4	395	32	6.3
Hoya Eyry 1.7	1.695	1.710	0.72	1.4	380	36	6.7
High index 1.71	1.710	1.715	0.70	1.4	380	36	6.9
Very high index	1.740	1.746	0.67	1.5	400	33	7.3

Optické vlastnosti materiálů brýlových čoček

důležité parametry:

- **index lomu**

- hustota
- Abbeovo číslo
- UV mezní bod

- curve variation factor (CVF)
- odrazivost

normal index	$n \geq 1.48$	but < 1.54
mid index	$n \geq 1.54$	but < 1.64
high index	$n \geq 1.64$	but < 1.74
very high index	$n \geq 1.74$	

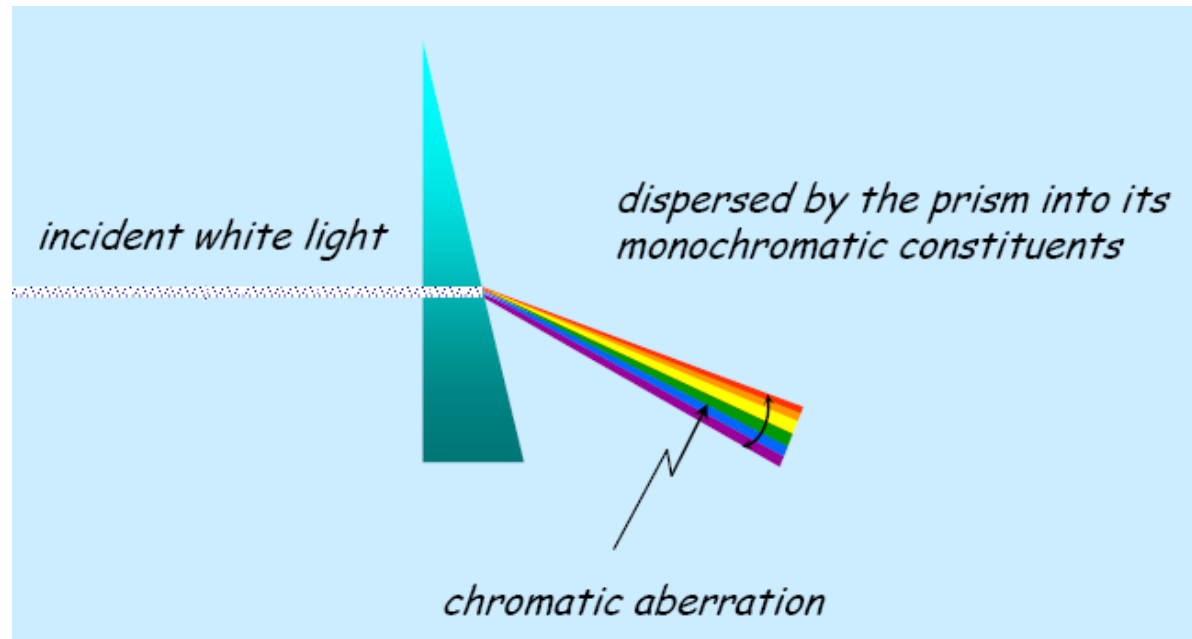
Optické vlastnosti materiálů brýlových čoček

důležité parametry:

- index lomu
- hustota
- **Abbeovo číslo**
- UV mezní bod

- curve variation factor (CVF)
- odrazivost

$$V_e = \frac{n_e - 1}{n_{F'} - n_{C'}}$$



Optické vlastnosti materiálů brýlových čoček

důležité parametry:

- index lomu
- hustota
- **Abbeovo číslo**
- UV mezní bod
- curve variation factor (CVF)
- odrazivost

$$v_e = \frac{n_e - 1}{n_{F'} - n_C}$$

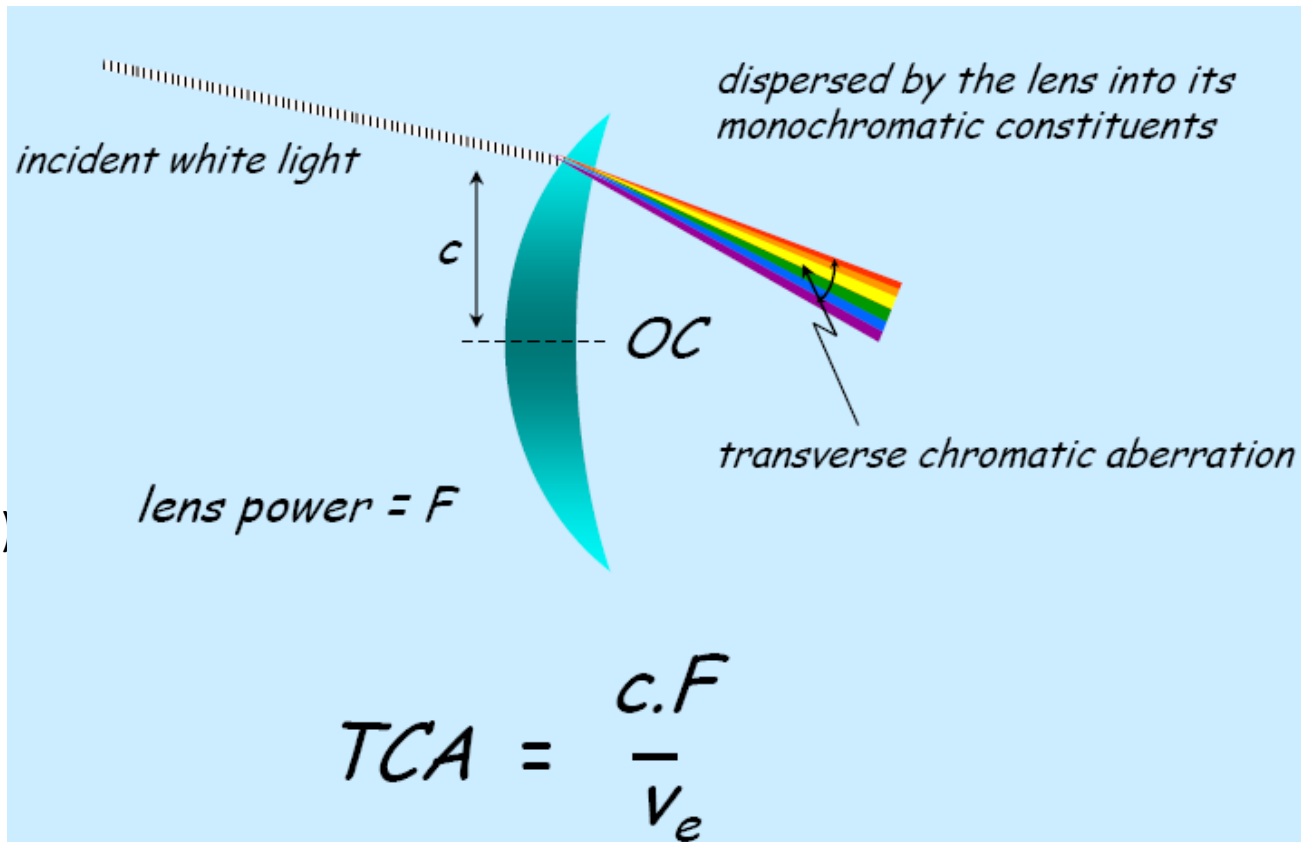
Designation	Element	Wavelength (nm)	Designation	Element	Wavelength (nm)
y	O ₂	898.765	c	Fe	495.761
Z	O ₂	822.696	F	H β	486.134
A	O ₂	759.370	d	Fe	466.814
B	O ₂	686.719	e	Fe	438.355
C	H α	656.281	G'	H γ	434.047
a	O ₂	627.661	G	Fe	430.790
D ₁	Na	589.592	G	Ca	430.774
D ₂	Na	588.995	h	H δ	410.175
D ₃ or d	He	587.5618	H	Ca ⁺	396.847
e	Hg	546.073	K	Ca ⁺	393.368
E ₂	Fe	527.039	L	Fe	382.044
b ₁	Mg	518.362	N	Fe	358.121
b ₂	Mg	517.270	P	Ti ⁺	336.112
b ₃	Fe	516.891	T	Fe	302.108
b ₄	Fe	516.891	t	Ni	299.444
b ₄	Mg	516.733			

Optické vlastnosti materiálů brýlových čoček

důležité parametry:

- index lomu
- hustota
- **Abbeovo číslo**
- UV mezní bod
- curve variation factor (CVF)
- odrazivost

$$V_e = \frac{n_e - 1}{n_F - n_C}$$



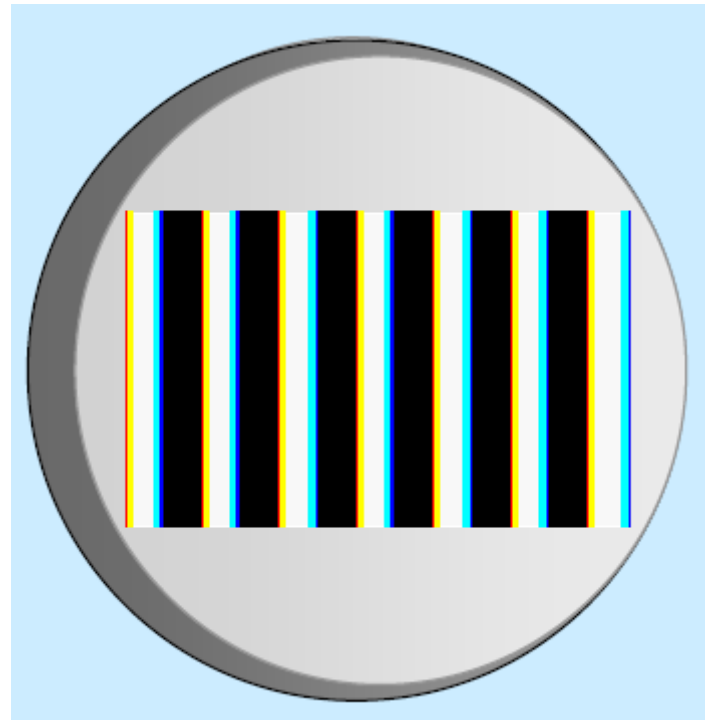
Optické vlastnosti materiálů brýlových čoček

důležité parametry:

- index lomu
- hustota
- **Abbeovo číslo**
- UV mezní bod

- curve variation factor (CVF)
- odrazivost

$$V_e = \frac{n_e - 1}{n_F' - n_C'}$$



Optické vlastnosti materiálů brýlových čoček

důležité parametry:

- index lomu
- hustota
- **Abbeovo číslo**
- UV mezní bod

- curve variation factor (CVF)
- odrazivost

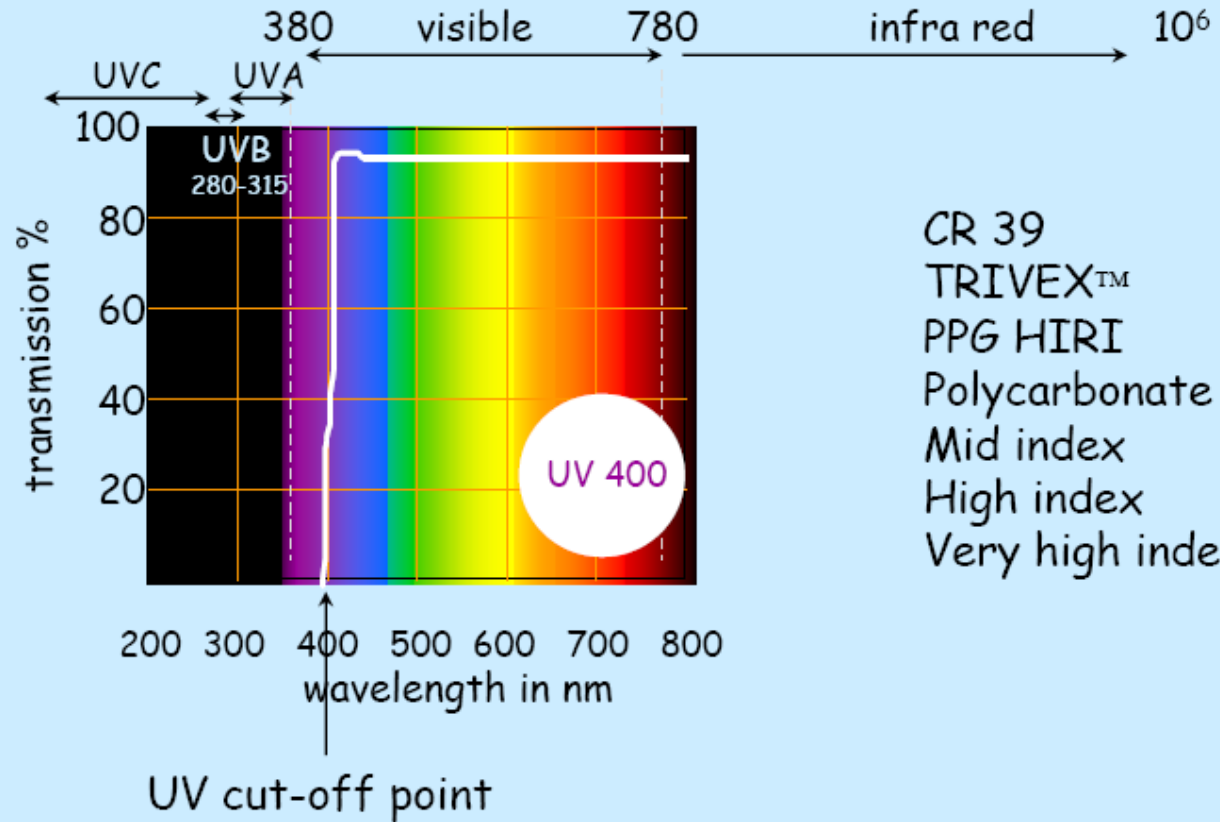
$$V_e = \frac{n_e - 1}{n_{F'} - n_{C'}}$$

low dispersion	$v \geq 45$
medium dispersion	$v \geq 39$ but < 45
high dispersion	$v < 39$

Optické vlastnosti materiálů brýlových čoček

důležité parametry:

- index lomu
- hustota
- Abbeovo číslo
- **UV mezní bod**
- CVF
- odrazivost



	UV cut-off
CR 39	355
TRIVEX™	395
PPG HIRI	370
Polycarbonate	385
Mid index	380
High index	395
Very high index	400

Optické vlastnosti materiálů brýlových čoček

důležité parametry:

- index lomu
- hustota
- Abbeovo číslo
- UV mezní bod

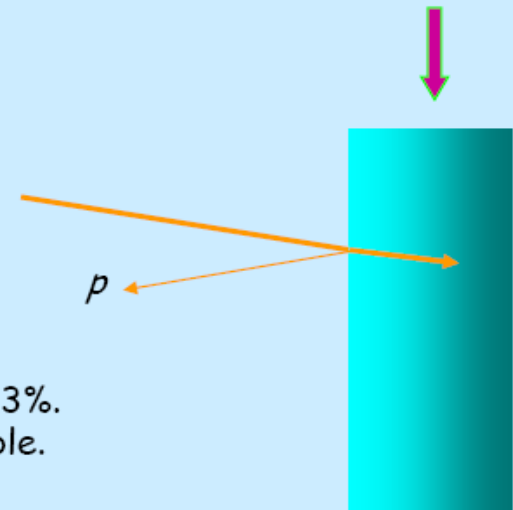
- CVF
- **odrazivost**
(kolmý dopad)

Glass type	index	CVF	Abbe No	density	reflectance	T%
crown	1.525	1.0	59	2.5	4.3%	91.6
mid-index	1.604	0.87	42	2.6	5.4%	89.5
high index	1.705	0.75	42	3.2	6.8%	86.9
very high index	1.807	0.65	35	3.7	8.3%	84.2
very high index	1.892	0.59	31	4.0	9.5%	81.9

Fresnel's fraction.

$$p = \left[\frac{n - 1}{n + 1} \right]^2 \times 100\%$$

For $n = 1.525$, the fraction turns out to be 4.3%.
Values for other indices are given in the table.



Optické vlastnosti materiálů brýlových čoček

důležité parametry:

- index lomu
- hustota
- Abbeovo číslo
- UV mezní bod
- **curve variation factor (CVF)**
- odrazivost

vystihuje odchylku objemu a tloušťky
ve srovnání s korunovým sklem,
např.
1,0 ... plný objem
0,75 ... 0 25 % menší objem